

مقایسه خواص میکروسکوپی چوب نزدیک به مغز و پوست شیشم *Dalbergia sissoo* در شوش دانیال

بابک نصرتی^{۱*}، محمد حق پناه^۲، مسیح مسعودی فر^۳ و علیرضا درستکار^۳

^۱* - نویسنده مسئول، استادیار، دانشکده منابع طبیعی، عضو هیئت علمی، گروه علوم و صنایع چوب و کاغذ، دانشگاه زابل

پست الکترونیک: nosrati.babak@uoz.ac.ir

- دانشجوی کارشناسی ارشد، علوم و صنایع چوب و کاغذ، دانشکده منابع طبیعی، دانشگاه زابل

- مدرس، دانشگاه آزاد اسلامی، واحد شیراز

تاریخ پذیرش: فروردین ۱۳۹۴

تاریخ دریافت: بهمن ۱۳۹۳

چکیده

در این تحقیق چوب نزدیک به مغز و پوست درخت شیشم از نظر ویژگی‌های میکروسکوپی مورد بررسی قرار گرفت. برای این منظور ۳ اصله درخت شیشم ۱۰ ساله از منطقه شوش دانیال واقع در استان خوزستان انتخاب و قطع گردید. برای اندازه‌گیری ابعاد الیاف نمونه‌های آزمونی، از هر درخت یک دیسک و از هر دیسک ۱۰ خلال چوب‌کبریتی جدا شده و مورد آزمون قرار گرفت. خیس کردن چوب به روش فرانکلین تهیه شد. همچنین مقاطع میکروسکوپی چوب نزدیک به مغز و پوست با استفاده از میکروسکوپ نوری مورد مطالعه آناتومی قرار گرفت. نتایج نشان داد که بین چوب نزدیک به مغز و پوست گونه شیشم از لحاظ طول، قطر، قطر حفره سلولی و ضخامت دیواره سلولی الیاف اختلاف معنی‌داری وجود دارد که از مغز به سمت پوست این مقادیر افزایش می‌یابد. پنهانی اشعه و قطر آوند به ترتیب در چوب نزدیک به مغز ۱۵/۳۶ و ۹۸/۱۲۲ و در چوب نزدیک به پوست ۸۲/۳۱ و ۲۶/۹۸ میکرون بوده که در سطح ۵ درصد اختلاف معنی‌داری را نشان داده است. متوسط تعداد آوند و تعداد اشعه به ترتیب در چوب نزدیک به مغز ۴۶/۳ و ۶۸/۴ عدد بود، همچنین میانگین بلندی اشعه در چوب نزدیک به مغز ۸۶/۱۳۰ و نزدیک به پوست ۰/۵۲۱ میکرون بوده که در سطح ۵ درصد تفاوت معنی‌داری را نشان ندادند.

واژه‌های کلیدی: جگ (شیشم)، مغز، خواص آناتومی.

شناخت این ویژگی‌ها و تغییرات آنها برای استفاده مطلوب از آنها ضروریست.

گونه شیشم (جگ) با نام علمی *Dalbergia sissoo* از خانواده *Papilionoaceae* است. نام جنس *Dalbergia* از نام گیاه‌شناس سوئدی Nicholas dalberg گرفته شده است. این جنس دارای صد گونه

خواص کاربردی چوب به عنوان ماده اولیه کارخانه‌های صنایع چوب و کاغذ همبستگی نزدیکی با ساختار سلولی آن دارد. نظر به اینکه ساختار سلولی گونه‌های چوبی از شاخص‌های اساسی انواع کاربرد در صنایع مختلف چوب و کاغذ است، از این‌رو مطالعه و

آوند شیشم را مورد بررسی قرار دادند و میانگین طول الیاف $1/4$ میلی متر، دانسیته خشک آن 746 gr/cm^3 و همکشیدگی خشک آن $1/55$ درصد اندازه گیری کردند و در بررسی دیگری که روی ویژگی های فیزیکی و مکانیکی شیشم انجام دادند میانگین طول و قطر الیاف به ترتیب $1430/87$ و $18/02$ میکرون و زاویه میکروفیریل ها را $12/24$ و pH آن را $5/39$ گزارش کردند (Lei et al., 2008).

(۲۰۱۳) Pande خواص آناتومی درون چوب و بروون چوب گونه شیشم را مورد بررسی قرار داد. نتایج به دست آمده بر روی ابعاد عناصر 12 درخت شیشم نشان داد که میانگین طول فیر بین 925 تا 1287 میکرون، قطر فیر بین $18/93$ تا $22/7$ ، ضخامت جداره بین $4/2$ تا $5/4$ و قطر آوند بین $152/25$ تا $200/4$ در حال تغییر است.

به دلیل کمبود منابع جنگلی کشور، شناسایی و بررسی گونه های جدید چوبی از نظر صنعتی و جنبه های اقتصادی دارای اهمیت بالایی می باشد. به موازات این بررسی وجود چنین گونه هایی اهمیت بسزایی در اقتصاد کشور دارد. ضروری است که متخصصان جنگل داری و پرورش جنگل به تکثیر این گونه در سطح کشور همت بگمارند. هدف از انجام این تحقیق تشرییح ویژگی های میکروسکوپی و آناتومی چوب شیشم نظیر تراکم آوند، تراکم اشعه چوبی، تغییرات قطر سلول در پهنا، طول اشعه چوبی و مقایسه این تغییرات از مغز به سمت پوست است.

مواد و روش ها

درختان شیشم از منطقه شوش دانیال واقع در استان خوزستان با مختصات جغرافیایی طول 48 درجه و عرض 32 درجه و 28 دقیقه انتخاب و پس از شماره گذاری قطع گردید. چوب مورد بررسی از سه اصله درخت شیشم سالم با فرم و رشد طبیعی با متوسط سن 10 سال، قطر برابر سینه 42 سانتی متر و ارتفاع 10 متر تهیه شد. برای تهیه نمونه های آزمونی و اندازه گیری خصوصیات آناتومی

مختلف در قسمت های مختلف مناطق گرمسیری آسیا، آمریکا و استرالیا است که 27 گونه از این جنس در هند یافت می شود (Tewari, 1994). از این جنس در ایران تنها گونه *Dalbergia sissoo* مشاهده شده است (Mozaffarian, 2008). این گونه در نهایی ترین حد غربی رویشگاه طبیعی خود در محیطی کم باران و با تبخیر و دوره خشکی شدید و طولانی بسر می برد، از این رو ارتفاعات بالاتری را نسبت به سایر گونه ها اشغال می کند. رویشگاه درختان شیشم در مناطق جنوبی ایران با ارتفاع 900 تا 1500 متری از سطح دریا مانند استان های خوزستان، سیستان و بلوچستان و کرمان می باشد. درختی خزان کننده با تاج گسترد است که ارتفاع آن به طور متوسط 10 تا 30 متر و قطر آن به $0/5$ تا 1 متر در قاعده می رسد.

صرف چوب شیشم در ایران سابقه بسیار دیرینه و کهن دارد، به طوری که در مقاله ای به نام «تخت جمشید از دیدگاه یک جنگل بان» چوب مصرفی ستون ها، درب و پنجره ها و دکوراسیون کاخ با عظمت تخت جمشید در چندین سال پیش را از جگ گزارش کرده است (Hejazi, 1961 and Tabatabai, 1961) (and). این گونه در صنایع کاغذسازی، داروسازی، ساخت مبلمان، قایق، کف پوش و تخته سهلا کاربرد زیادی داشته و در زمینه آگروفورستی^۱، جنگل داری شهری، حفاظت خاک، جلوگیری از فرسایش و علوفه دام از اهمیت فراوانی برخوردار است. گونه شیشم در حالت عادی به دو روش طبیعی و مصنوعی دارای قابلیت زادآوری و تجدید حیات می باشد زادآوری مصنوعی شیشم از طریق قلمه های ریشه و ساقه و زادآوری طبیعی آن از طریق جوانه های بذر و ریشه انجام می شود (Tarahi et al., 2012).

استفاده از گونه شیشم در صنایع لیگنو سلولزی موضوع بررسی برخی از محققان قرار گرفته، در این راستا Lei و همکاران (2011) ویژگی های آناتومی چوب گونه پراکنده

الکل جایگزین آب شود و پس از آن برای الکل زدایی، نمونه‌ها در محلول گزیل قرار گرفتند، پس از خشک شدن، نمونه‌های رنگ آمیزی شده روی لام قرار گرفتند و مقداری چسب کانادا باز زام در نزدیک نمونه ریخته شد و لام با زاویه ۴۵ درجه روی نمونه قرار داده شد تا حباب تشکیل نشود. برای اندازه‌گیری مشخصات آناتومی مقاطع، از میکروسکوپ (Euromex, Holland) مجهز به سیستم آنالیز تصویری با درشت‌نمایی‌های متفاوت استفاده گردید (Familian *et al.*, 2000).

روش اندازه‌گیری ابعاد الیاف با روش فرانکلین
برای اندازه‌گیری ابعاد الیاف در هر دیسک، ۱۰ نمونه به شکل خلال چوب کبریتی (به ابعاد $20 \times 3 \times 3$ میلی‌متر) از محدوده مغز تا پوست به صورت حلقه‌های سالیانه تهیه گردید. نمونه‌های تهیه شده در لوله‌های آزمایش ریخته شد و مخلوط اسیداستیک و آب اکسیژن به نسبت مساوی (۵۰ به ۵۰) به آنها افزوده شد و به مدت ۴۸ ساعت در داخل اتو و دمای ۶۰ درجه سانتی‌گراد قرار گرفت. پس از این مدت نمونه‌ها از اتو خارج شد و با آب قطر شسته شد. برای اندازه‌گیری ابعاد الیاف (طول، قطر، حفره سلولی و ضخامت دیواره سلولی) تعداد ۳۰ عدد فیبر به طور تصادفی انتخاب گردید و با استفاده از میکروسکوپ نوری (Olympus, BH-2) با درشت‌نمایی متفاوت، توسط عدسی چشمی مدرج اندازه‌گیری شد.

نتایج

ساختمان میکروسکوپی چوب

تصاویر میکروسکوپی از سه مقطع عرضی، ساعی و مماسی چوب شیشم در شکل‌های ۱ تا ۶ نشان داده شده است. نتایج حکایت از آن دارد که چوب پراکنده آوند است. دوایر سالیانه مشخص و حفرات آوندی منفرد و یا به صورت گروه‌های دو تا سه تایی دیده می‌شود (شکل ۱)، دریچه آوندی ساده و روزنه‌های بین آوندی متناوب است (شکل ۲).

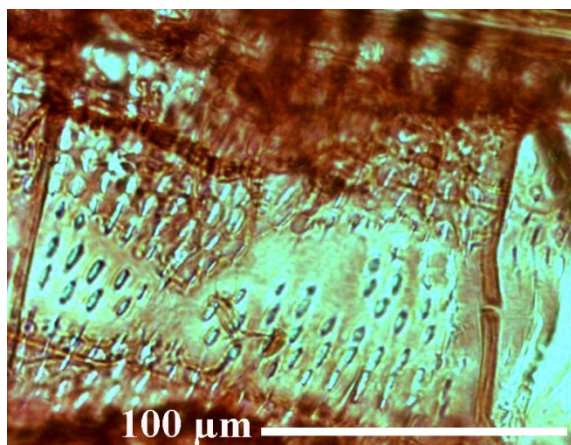
چوب، ۳ دیسک در ارتفاع برابر سینه به ضخامت ۳ سانتی‌متر از ۳ اصله درخت تهیه گردید. سپس ویژگی‌های آناتومی چوب بر روی مقاطع تهیه شده طبق دستور العمل انجمن بین‌المللی آناتومی چوب (IAWA) در محدوده بین مغز تا پوست اندازه‌گیری شد. داده‌های حاصل در قالب طرح کاملاً تصادفی مورد تجزیه و تحلیل آماری قرار گرفتند و مقایسه میانگین‌های ابعاد الیاف از ۱۰ حلقه رویشی به کمک آزمون تجزیه واریانس یک‌طرفه (ANOVA) و در سطح اعتماد ۹۵ درصد انجام شد و با استفاده از آزمون T مستقل میانگین ابعاد الیاف (طول، قطر، قطر حفره سلولی و ضخامت دیواره سلولی) و تغییرات ساختار سلولی چوب نزدیک به مغز و پوست که شامل قطر آوند، تعداد اشعه، تعداد آوند، تعداد آوند تیل دار، بلندی اشعه و اندازه پهناهی اشعه بود، مورد بررسی قرار گرفتند.

تهیه مقاطع میکروسکوپی

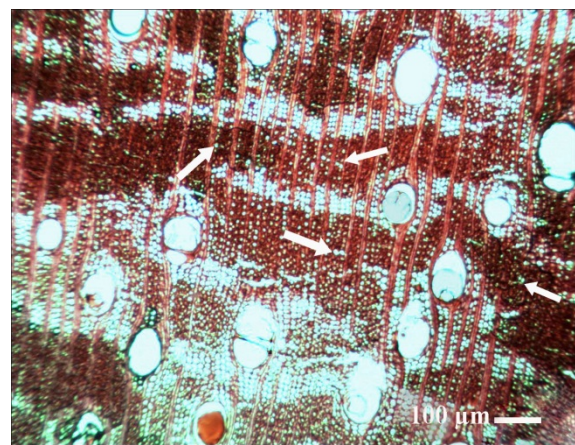
برای انجام آزمون‌های تشریحی، از هر درخت ۱ دیسک و از هر دیسک ۶ نمونه نرمال، سالم و بی‌عیب (فاقد گره و پیچیدگی الیاف و غیره) به ابعاد $1 \times 1 \times 2$ سانتی‌متر در قسمت نزدیک به مغز و نزدیک به پوست تهیه گردید و از آنها مقاطع میکروسکوپی عرضی، ساعی و مماسی تهیه شد.

روش مقطع گیری

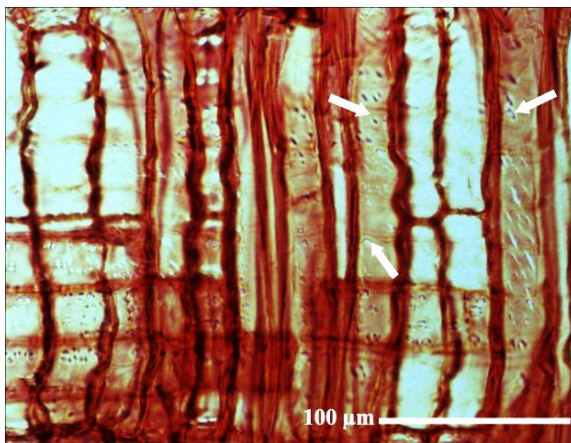
ابتدا سطح مقاطع توسط میکروتوم با برش‌های اولیه صاف شده، سپس لایه‌هایی به ضخامت ۱۰ تا ۱۵ میکرون تهیه شد. به منظور باز کردن چین خوردگی لایه‌ها داخل آب ولرم قرار گرفتند و پس از آن برای تخلیه محتویات درون سلولی نمونه‌ها درون آب ژاول قرار گرفتند، پس از شستشو با آب قطر نمونه‌ها در سافرانین ۱ درصد قرار گرفتند تا رنگ شوند و بعد با آب قطر شستشو داده شدند و به ترتیب با الکل ۴۵ درجه، ۷۵ درجه و ۹۶ درجه شستشو داده شدند تا آب‌زدایی شوند و



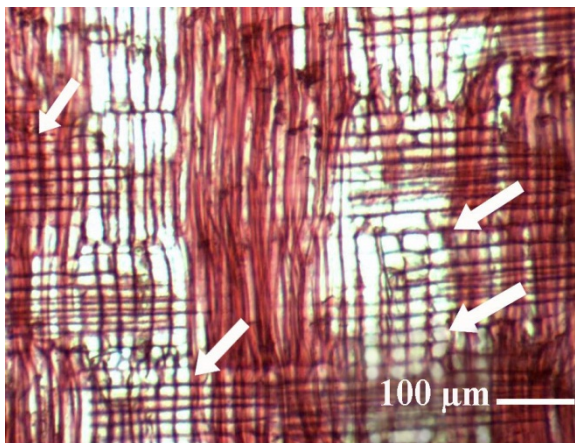
شکل ۲- روزنه‌های بین آوندی در مقطع شعاعی



شکل ۱- حفرات آوندی منفرد و گاهی دوتایی و پارانشیم‌ها منفرد و گرد آوندی، بالدار و نواری به هم پیوسته در مقطع عرضی



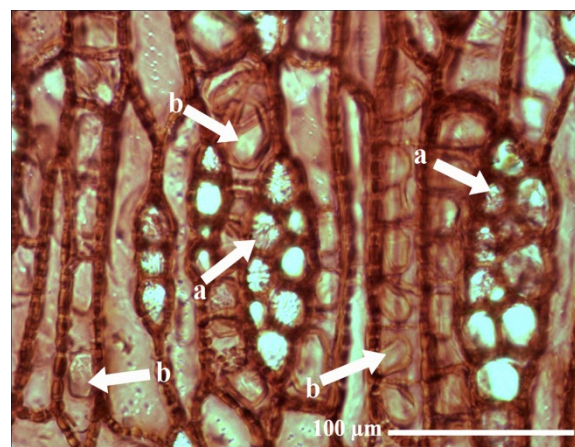
شکل ۴- فیبر تراکئید در مقطع شعاعی



شکل ۳- اشعه همگن و ناهمگن در مقطع شعاعی

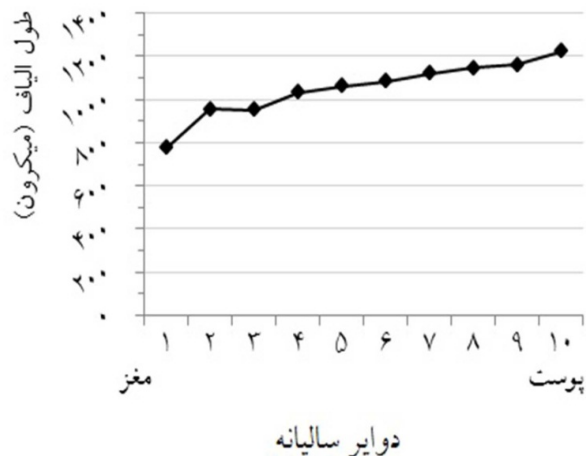


شکل ۶- پهناز اشعه از ۱ تا ۶ سلول و وجود کریستال در پارانشیم محوری در مقطع مماسی

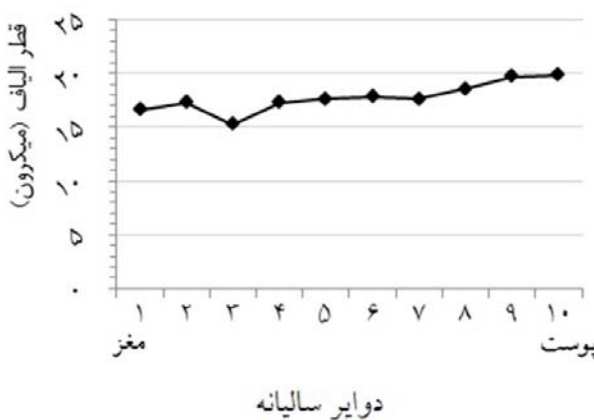


شکل ۵- بافت اشعه حاوی محتويات درون سلولی و مواد ذخیره‌ای مانند نشاسته (a) و وجود کریستال در پارانشیم محوری (b) در مقطع مماسی

(جدول ۲). کمترین میانگین قطر الیاف در چوب نزدیک به مغز (شماره ۳) $15/3$ میکرون و بیشترین میانگین آن در چوب نزدیک به پوست (شماره ۱۰) $19/9$ میکرون به دست آمد (شکل ۸).



شکل ۷- تغییرات طول الیاف از مغز به سمت پوست



شکل ۸- تغییرات قطر الیاف از مغز به سمت پوست

قطر حفره

نتایج حاصل از تجزیه واریانس تغییرات قطر حفره از مغز به سمت پوست در سطح اعتماد 95 درصد معنی دار است (جدول ۱). همچنین نتایج آزمون t مستقل نشان می دهد که بین تغییرات قطر الیاف در چوب نزدیک به مغز با چوب نزدیک به پوست اختلاف معنی داری وجود دارد (جدول ۲). کمترین میانگین قطر الیاف در چوب نزدیک به مغز (شماره ۱) 766 میکرون و بیشترین میانگین آن در چوب نزدیک به پوست (شماره ۱۰) 1223 میکرون به دست آمد (شکل ۷).

طول الیاف

نتایج حاصل از تجزیه واریانس تغییرات طول الیاف از مغز به سمت پوست در سطح اعتماد 95 درصد معنی دار است (جدول ۱). همچنین نتایج آزمون t مستقل نشان می دهد که بین تغییرات طول الیاف در چوب نزدیک به مغز با چوب نزدیک به پوست اختلاف معنی داری وجود دارد (جدول ۲). کمترین میانگین طول الیاف در چوب نزدیک به مغز (شماره ۱) $15/3$ میکرون و بیشترین میانگین آن در چوب نزدیک به پوست (شماره ۱۰) $19/9$ میکرون به دست آمد (شکل ۸).

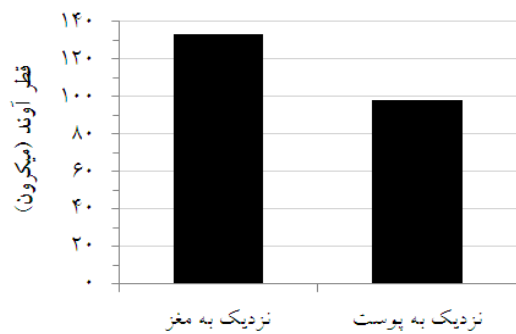
قطر الیاف

نتایج حاصل از تجزیه واریانس تغییرات قطر الیاف از مغز به سمت پوست در سطح اعتماد 95 درصد معنی دار است (جدول ۱). همچنین نتایج آزمون t مستقل نشان می دهد که بین تغییرات قطر الیاف در چوب نزدیک به مغز با چوب نزدیک به پوست اختلاف معنی داری وجود دارد

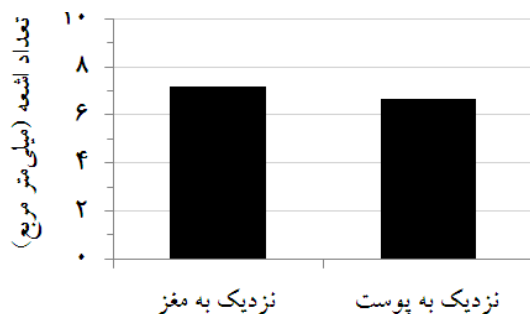
آن در چوب نزدیک به پوست (شماره ۱۰) ۳/۹۱ میکرون به دست آمد (شکل ۱۰).

قطر آوند

آزمون t تغییرات قطر آوند در چوب نزدیک به مغز و چوب نزدیک به پوست را با دامنه (۹۸-۱۳۲) میکرون) در سطح ۵ درصد معنی دار نشان داد (جدول ۲) که نشان از قطر بیشتر آوند در چوب نزدیک به مغز دارد و حداقل میانگین مربوط به چوب نزدیک به پوست است (شکل ۱۱).



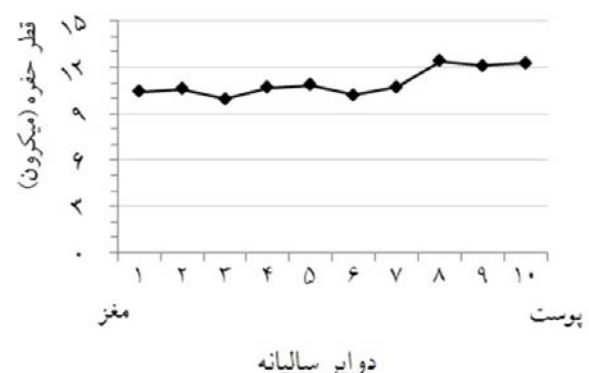
شکل ۱۱- مقایسه قطر آوند در چوب نزدیک به مغز و پوست



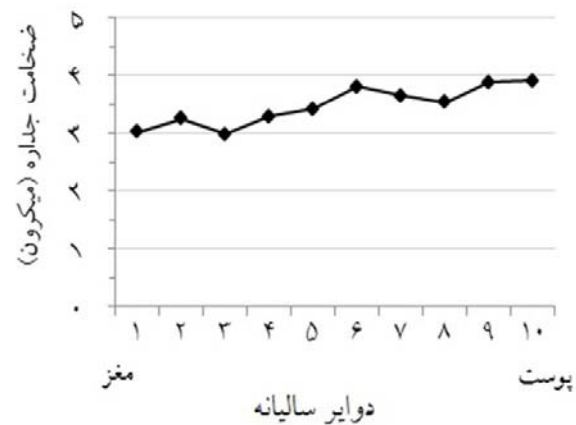
شکل ۱۲- مقایسه تعداد اشعه در چوب نزدیک به مغز و پوست

آزمون t تغییرات تعداد اشعه در چوب نزدیک به مغز و چوب نزدیک به پوست را با دامنه (۶/۶۸-۷/۲۰) در سطح ۵ درصد معنی دار نشان نداد (جدول ۲)، به طوری که حداقل میانگین مربوط به چوب نزدیک به پوست است (شکل ۱۲).

با چوب نزدیک به پوست اختلاف معنی داری وجود دارد (جدول ۲). کمترین میانگین قطر حفره در چوب نزدیک به مغز (شماره ۳) ۱۰ میکرون و بیشترین میانگین آن در چوب نزدیک به پوست (شماره ۸) ۱۲/۴ میکرون به دست آمد (شکل ۹).



شکل ۹- تغییرات قطر حفره از مغز به سمت پوست



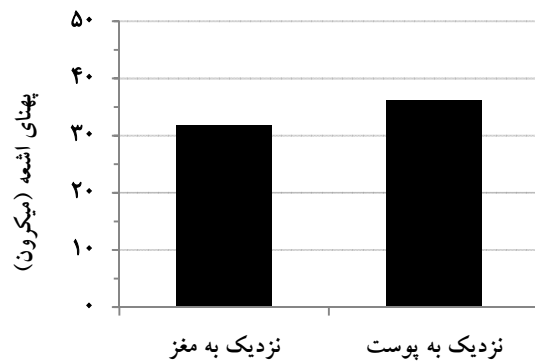
شکل ۱۰- تغییرات قطر حفره از مغز به سمت پوست

ضخامت دیواره سلولی الیاف

نتایج حاصل از تجزیه واریانس تغییرات ضخامت دیواره از مغز به سمت پوست در سطح اعتماد ۹۵ درصد معنی دار است (جدول ۱). همچنین نتایج آزمون t مستقل نشان می دهد که بین تغییرات ضخامت دیواره در چوب نزدیک به مغز با چوب نزدیک به پوست اختلاف معنی داری وجود دارد (جدول ۲). کمترین میانگین ضخامت دیواره در چوب نزدیک به مغز (شماره ۳) ۲/۹۸ میکرون و بیشترین میانگین

پهنهای اشعه

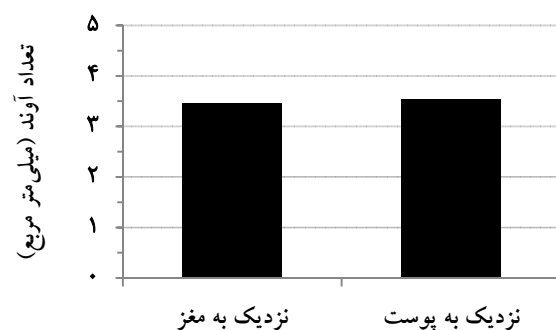
آزمون t تغییرات پهنهای اشعه در چوب نزدیک به مغز و چوب نزدیک به پوست را با دامنه (۸/۳۱-۲/۳۶ میکرون) در سطح ۵ درصد معنی دار نشان داد (جدول ۲)، به طوری که حداقل میانگین مربوط به چوب نزدیک به مغز است (شکل ۱۵).



شکل ۱۵- مقایسه پهنهای اشعه در چوب نزدیک به مغز و پوست

تعداد آوند

آزمون t تغییرات تعداد آوند در چوب نزدیک به مغز و چوب نزدیک به پوست را با دامنه (۵/۳۴-۴/۳۶) در سطح ۵ درصد معنی دار نشان نداد (جدول ۲)، به طوری که حداقل میانگین مربوط به چوب نزدیک به مغز است (شکل ۱۳).



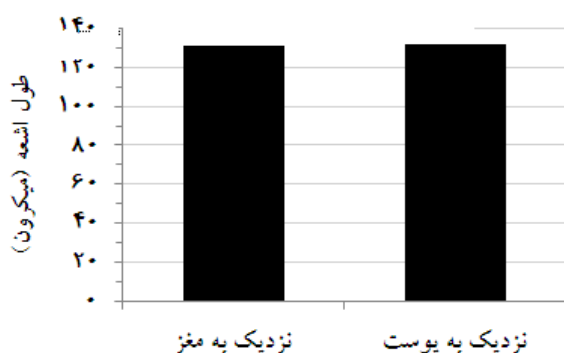
شکل ۱۳- مقایسه تعداد آوند در چوب نزدیک به مغز و پوست

تعداد آوند تیل دار

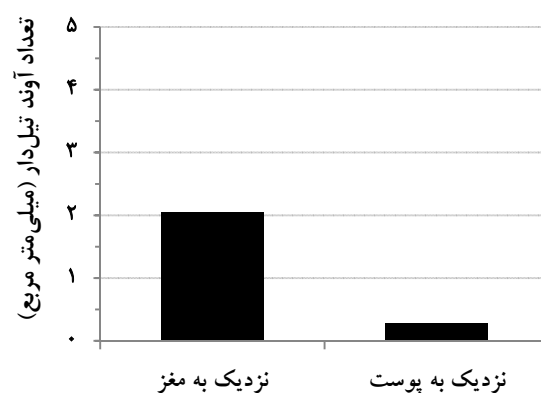
آزمون t تغییرات تعداد آوند تیل دار در چوب نزدیک به مغز و چوب نزدیک به پوست را با دامنه (۲-۳/۰) در سطح ۵ درصد معنی دار نشان داد (جدول ۲)، به طوری که حداقل میانگین مربوط به چوب نزدیک به پوست است (شکل ۱۴).

بلندی اشعه

آزمون t تغییرات طول اشعه در چوب نزدیک به مغز و چوب نزدیک به پوست را با دامنه (۱/۱-۲/۹۱ میکرون) در سطح ۵ درصد معنی دار نشان نداد (جدول ۲)، به طوری که حداقل میانگین مربوط به چوب نزدیک به پوست است (شکل ۱۶).



شکل ۱۶- مقایسه طول اشعه در چوب نزدیک به مغز و پوست



شکل ۱۴- مقایسه تعداد آوند تیل دار در چوب نزدیک به مغز و پوست

جدول ۱- آنالیز واریانس یک طرفه (ANOVA) ابعاد الیاف چوب شیشم از مغز به سمت پوست

منبع تغییرات	درجه آزادی	مجموع مربعات	میانگین مربعات	F	سطح معنی داری
S.O.V	d.f	S.S	M.S	Sig.	Sig.
طول الیاف	۹	۲۳۶۶۹۳۴/۱	۲۶۲۹۹۲/۶۸	۱۵/۱۲۵	۰/۰۰۰*
قطر الیاف	۹	۲۵۳/۴	۲۸/۱۶	۴/۵۱۵	۰/۰۰۰*
قطر حفره	۹	۱۰۷/۳	۱۱/۹۲	۲/۰۱۷	۰/۰۴۲*
ضخامت دیواره	۹	۱۵/۵	۱/۷۲	۳/۹۲۰	۰/۰۰۰*

(*) معنی دار در سطح ۹۵ درصد

جدول ۲- آزمون t مستقل بر روی خصوصیات میکروسکوپی چوب نزدیک به مغز و پوست درخت شیشم

مشخصه	نzdیک به مغز	نzdیک به پوست	t	درجه آزادی	سطح معنی داری	Sig.
(μm)	۹۹۶	۱۱۷۷	-۷/۶۶۵	۱۳۱/۳۵۰	طول الیاف	*
قطر الیاف (μm)	۱۷/۱	۱۹/۴	-۵/۰۶۸	۱۴۸	۰/۰۰۰*	
قطر حفره (μm)	۱۰/۵	۱۲/۳	-۴/۱۵۱	۱۴۸	۰/۰۰۰*	
ضخامت دیواره (μm)	۳/۳۵	۳/۷۸	-۳/۵۰۹	۱۴۸	۰/۰۰۱*	
قطر آوند (μm)	۱۳۳	۹۸	۵/۱۰۰	۱۶۹/۳۵۲	۰/۰۰۰*	
تعداد آوند	۳/۴۶	۳/۵۴	-۰/۲۶۰	۹۸	۰/۷۹۶ ^{ns}	
تعداد آوند تیل دار	۲	۰/۳	۸/۹۸۵	۶۸/۳۹۸	۰/۰۰۰*	
تعداد اشعه	۷/۲۰	۶/۶۸	۱/۲۳۰	۱۵۳/۴۳۷	۰/۲۲۱ ^{ns}	
بلندی اشعه (μm)	۱۳۰/۹	۱۳۲/۱	-۰/۱۴۰	۱۴۱/۴۹۲	۰/۸۸۹ ^{ns}	
پهنای اشعه (μm)	۳۱/۸	۳۶/۲	-۲/۳۲۷	۱۷۹/۳۵۵	۰/۰۲۱*	

(*) معنی دار در سطح ۹۵ درصد، (ns) عدم معنی دار در سطح ۹۵ درصد

به صورت همگن (سلول‌های خوابیده) و پهنای آن ۱ تا ۳ سلول گزارش شده است (Quirk, 1983). پهنای اشعه چوبی به لحاظ اندازه بعضًا تابع رویشگاه بوده و ممکن است در بعضی از سال‌های رویشی با سال‌های دیگر تفاوت‌هایی داشته باشند که درنتیجه نمی‌تواند چندان در مقایسه چوب نزدیک به مغز و پوست قابل اعتماد باشند (Wilson and Biol, 1986).

اندازه‌گیری ابعاد الیاف بر روی چوب نزدیک به مغز و پوست گونه شیشم انجام شد. در چوب شیشم طول الیاف، قطر الیاف، قطر حفره و ضخامت دیواره از مغز به سمت پوست افزایش می‌یابد. دلیل این امر می‌تواند مربوط به

بحث

نتایج حاصل از این مطالعات نشان داد که از جمله ویژگی‌های قابل توجه چوب گونه شیشم را می‌توان به دو ایرانی مشخص، وجود پارانشیم فراوان همراه با کریستال، فیبر از نوع لیبریفورم و فیبر تراکنید، آوندها به صورت منفرد و پراکنده دارای دریچه آوندی ساده اشاره کرد که از این جهت با مطالعه انجام شده بر روی گونه *Dalbergia sissoo* در استرالیا مطابقت دارد، اما اشعه چوبی گونه شیشم مورد بررسی در این تحقیق همگن و ناهمگن (از یک تا ۲ سلول ایستاده در بالا و پایین اشعه) و پهنای آن ۱ تا ۶ سلول مشاهده شد ولی در گونه *Dalbergia sissoo* استرالیا اشعه

توسط Ramazani و همکاران (۲۰۱۲) در مورد قطر آوند چوب جوان و بالغ صنوبر (*Populus alba*) مطابقت دارد. دلیل کاهش قطر آوند در نواحی نزدیک به پوست می‌تواند مربوط به بروز تنفس خشکی در اثر کاهش رطوبت و بارندگی باشد که موجب کاهش قطر آوند شده است (and Eckstein, 1995; Pourtahmasi *et al.*, 2011). متوسط قطر آوند اندازه‌گیری شده در چوب نزدیک به مغز ۱۳۳ و در چوب نزدیک به پوست ۹۸ میکرون است، به طورکلی میانگین قطر آوند در گونه شیشم در حدود ۱۱۵ میکرون است که تقریباً در گروه پهن برگان با قطر آوند متوسط طبقه‌بندی می‌شود.

مشابه نتایج به دست آمده در این تحقیق آوندهای تیل دار در چوب نزدیک به مغز به فراوانی یافت می‌شود که با گزارش به دست آمده توسط Qurik (۱۹۸۳) بر روی *Dalbergia sissoo* استرالیا مطابقت دارد. تعداد آوند تیل دار اندازه‌گیری شده در هر میلی‌متر مربع در چوب نزدیک به مغز ۲ و در چوب نزدیک به پوست ۰/۳ است که به لحاظ فراوانی آوندهای تیل دار در چوب نزدیک به مغز این گونه جزء گونه‌های بادوام محسوب می‌شود و در برابر موریانه‌های چوب خشک مقاومت بالایی از خود نشان می‌دهد. دلیل اصلی ایجاد تیل غیر از صدمات مکانیکی و حمله‌های عوامل مخرب چوب می‌تواند کاهش فشار ستون آب موجود در آوند باشد (Carlquist, 2001). ولی علت افزایش میزان تیل در چوب نزدیک به مغز شیشم، می‌تواند مربوط به درون‌چویی شدن آن باشد که در طی غیرفعال شدن بافت پارانشیم و ترشح ماده سیتوپلاسمی از طریق روزنه‌ها به حفره آوند اتفاق می‌افتد (Bamber, 1976).

سپاسگزاری

بدین‌وسیله از مسئولان محترم پژوهشکده تالاب بین‌المللی هامون دانشگاه زابل که در طول اجرای این تحقیق از مساعدت پژوهشی و اجرایی ارزنده‌شان سود برده‌ایم کمال امتنان و تشکر را داریم.

افزایش سن کامبیوم باشد که درنتیجه، در اثر طویل‌تر شدن سلول‌های اولیه دوکی شکل، تقسیمات سلولی کامبیوم Zobel and Buijtenen, 1989 موجب تولید سلول‌های با ابعاد بیشتر می‌گردد (Buijtenen, 1989). دسته اول الیاف کوتاه با طول کمتر از ۰/۹ میلی‌متر، دسته دوم الیاف متوسط با طول ۰/۹ تا ۱/۹ میلی‌متر، به‌طوری‌که الیاف چوب نزدیک به مغز و پوست شیشم در این کلاسه قرار دارند و دسته سوم الیاف با طول بیشتر از ۱/۹ میلی‌متر که الیاف بلند می‌باشند (IAWA, 1989). متوسط ضخامت دیواره سلولی در چوب نزدیک به مغز ۳/۳۵ و در چوب نزدیک به پوست ۳/۷۸ میکرون اندازه‌گیری شد. افزایش ضخامت دیواره سلولی باعث افزایش دانسیته چوب می‌گردد که این ویژگی تأثیر مستقیم در خواص مقاومتی چوب دارد، البته هرچه ضخامت دیواره الیاف بیشتر باشد الیاف در برابر نیروهای مکانیکی وارد از خود مقاومت بیشتری نشان می‌دهند و در برابر تغییر شکل نیز مقاومت می‌کنند. از این‌رو بر اثر این خاصیت، قابلیت انعطاف‌پذیری و مچاله شدن الیاف کم می‌شود که خود موجب توجه صنایع سلولزی به آن می‌شود (Hosseinzadeh *et al.*, 2000; Ramazani *et al.*, 2013) با تبدیل چوب جوان به بالغ، میانگین طول الیاف و ضخامت دیواره سلولی افزایش می‌یابد که با نتایج تحقیقات Hosseini (2009) و Saraeyan (2000) مطابقت دارد. به‌طورکلی میانگین ضخامت دیواره سلولی، قطر فیر و قطر حفره سلولی از مغز به سمت پوست افزایش می‌یابد که Ramirez و همکاران (2009) و Parsapajouh and Lashkarbolouki (2005) در بررسی *Eucalyptus* خصوصیات بیومتری چوب گونه‌های *Populus deltoides* و *Populus globulus* به همین نتیجه رسیدند. همچنین Aliabadi و همکاران (2011) در بررسی خواص بیومتری الیاف مرز عنوان کردند که طول، قطر و ضخامت دیواره سلولی فیر با افزایش فاصله از مغز افزایش می‌یابد. میانگین قطر آوندها از مغز به سمت پوست به صورت معنی‌دار کاهش یافته است که با اندازه‌گیری‌های انجام شده

Properties of Introduced *Dalbergia sissoo* Roxb. *Forest Research, Beijing*, 21 (2): 212-216.

- Lei, S., QingFeng, S. and Jiang, D., 2011. Primary Study on the Anatomical Construction and Physical-Mechanical Properties of introduced *Dalbergia sissoo*. *Advanced Material Research*, 179-180: 1446-1452.
- Mozaffarian, V., 2008. Flora of Khuzestan. Resources Nature and livestock Research Center of Khuzestan, 282p. (In Persian).
- Pande, P. K., 2013. Influence of growth, wood anatomical properties and specific gravity on heartwood, sapwood and tension-wood in *Dalbergia sissoo* Roxb. *Journal of the Indian Academy of Wood Science*, 10(1): 16-21.
- Pourtahmasi, K., Lotfiomran, N., Brauning, A. and Parsapajouh, D., 2011. Tree-ring width and vessel characteristics of oriental beech (*Fagus Orientalis*) along an altitudinal gradient in the caspian forests, northern Iran. *IAWA Journal*, 32 (4): 461-473.
- Quirk, J.T., 1983. Data for a computer-assisted wood identification system. I. Commercial legumes of tropical Asia and Australia. *IAWA Bull*, 4(23): 118-130.
- Ramazani, S., Talaeipour, M., Aliabadi, M., Tabeei, A. and Bazyar, B., 2013. Investigation of the anatomical, biometry and chemical characteristics of juvenile and mature poplar (*Populus alba*) wood. *Iranian Journal of Wood and Paper Science Research*, 28 (1): 182-193. (In Persian).
- Ramirez, M., Rodriguez, J., Peredo, M., Valenzuela, S. and Mondonca, R., 2009. Wood anatomy and biometric parameters variation of eucalyptus *globulus* clones. *Wood Science and Technology*, 43: 131-141.
- Sass, U. and Eckstein, D., 1995. The variability of vessel size in beech (*Fagus sylvatica* L.) and its ecophysiological interpretation. *Trees*, 9(5): 247-252.
- Tarahi, A.A., Firoznezhad, M. and Boojari, A., 2012. Introducing of *Dalbergia sissoo* species in order to Preserve Natural Areas and Restoration Genetic Pool in Khuzestan Province. Regional Conference on Sustainable Development of Natural Resources, West Country. May 4th. (In Persian).
- Tewari, D.N., 1994. A monograph on *Dalbergia sissoo* Roxb. International Book Distributors, 316p.
- Wilson, K. and Biol, F., 1986. The anatomy of wood. Stobart and Son Ltd., London, 119p.
- Zobel, B.J. and Buijtenen, P., 1989. Wood variation, Its causes and control, Spring-Verlag, 453p.

منابع مورد استفاده

- Aliabadi, M., Akbarpour, I., Saraeian, A.R. and Roushenasan, J., 2011. Biometrical properties of hornbeam fibers from Astara. *Iranian Journal of Wood and Paper Science Research*, 26(3): 535-544.
- ASTM Standard Test Methods, 1999. American Society for Testing Materials. ASTM-D143.
- Bamber, R.K., 1976. Heartwood, its function and formation. *Wood Science and Technology*, 10(1): 1-8.
- Carlquist, S., 2001. Comparative Wood Anatomy. Systematic, Ecological, and Evolutionary. Aspects of Dicotyledon Wood, 2nd Ed., Springer-Verlag, Berlin, Germany, 448p.
- Efhami, D. and Saraeyan, A.R., 2009. Evaluation of Anatomical and Physical Properties of Juvenile/Mature Wood of *Populus alba* and *Populus × euramericana*. *Iranian Journal of Wood and Paper Science Research*, 24 (1): 134-147. (In Persian).
- Familian, H., Fakhrian, A., Golbabaei, F., Habibi, M.R. and Arabtabar, H., 2000. Physical, mechanical and chemical properties of *Eucalyptus intertexta* wood species, in Sarab Bahram Area (Fars Province). *Iranian Journal of Wood and Paper Science Research*, 12: 73-137. (In Persian).
- Hejazi, R. and Tabatabai, M., 1961. Natural forest *sissoo* Genesis in Iran. Preliminary Report. Department of Natural Resources, Tehran University – Karaj, 24: 1-8. (In Persian).
- Hosseini, S.Z., 2000. Fiber Morphology in Wood and Pulp. Publication of Gorgan University of Agricultural Sciences and Natural Resources, 288p.
- Hosseinzadeh, A., Familian, H., Salehi, K., Fakrian, A., Golbabaei, F., Habibi, M., Arabtabar, H. and Sadraei, N., 2000. Properties of eucalyptus *intertexta* wood grown In Southern region of Iran. *Journal Wood and Paper Science Research*, 12: 73-136. (In Persian).
- IAWA Committee, 1989. IAWA list of microscopic features for hardwood identification by an IAWA Committee. E. A. Wheeler, P. Baas & P. E. Gasson (eds.) *IAWA Bull*. n.s.10(3): 219-332.
- Lashkarbolouki, E. And Parsapajouh, D., 2005. A Study of Anatomical Characteristics, fiber Biometry and Some Other Physical Properties of One of the Most Important Clones of Poplar (*Populus deltoides* 77.51) in Gilan. *Iranian J.Natural Res*, 58(1): 195-207.
- Lei, S., QingFeng, S. and Jiang, D., 2008. Study on Anatomical Structure Variation and Chemical

Comparing the microscopic properties of wood near the pith and bark of *Dalbergia sissoo* in ShoshDanial

B. Nosrati^{1*}, M. Hagh Panah², M. Masoudifar² and A. Dorostkar³

1*- Corresponding author, Assistant Professor, Department of Paper and Wood Sciences and Technology, Faculty of Natural Resources, University of Zabol, Iran, Email: nosrati.babak@uoz.ac.ir

2- M.Sc., Student, Department of Paper and Wood Sciences and Technology, Faculty of Natural Resources, University of Zabol, Iran

3- Teacher of Islamic Azad University of Shirvan, Iran

Received: Jan., 2014 Accepted: April, 2015

Abstract

In this research, the microscopic properties of wood near the pith and bark of *Dalbergia sissoo* was investigated. Samples were selected from 3 trees of 10 years old from ShoshDanial area in Khozestan province. One disc was selected from each tree and from each disc 10 match stick size specimens were cut and used for fiber dimension measurements. Fibers were separated as defined by Franklin method. Microscopic segments of wood near the pith and bark were studied with light microscope. The results showed that the fiber length, fiber and lumen diameter, and cell wall thickness are significantly different between two regions and the measured values were increased from pith to bark. Ray widths and vessel diameters in wood near the pith and bark were 36.15, 132.98 and 31.82, 98.26 μm respectively and showed a significant difference at 5% significance level. The average number of vessels and the number of rays in wood near the pith and bark were 3.46, 7.20 and 3.54, 6.68 respectively. Also the average ray length in wood near the pith and bark were 130.86 and 132.05 μm respectively but it didn't show a significant difference at 5% significance level.

Keywords: *Dalbergia sissoo* (shisham), pith, anatomical properties.